

©1995 г.

## ИНЖЕКЦИЯ И ПОЛЕВАЯ ИОНИЗАЦИЯ ЛОВУШЕК В МОНОКРИСТАЛЛАХ $\text{MnGa}_2\text{Se}_4$

*Б.Г. Тагиев, О.Б. Тагиев, Н.Н. Мусаева*

Институт физики Академии наук Азербайджана,

370143, Баку, Азербайджан

(Получена 18 октября 1993 г. Принята к печати 12 октября 1994 г.)

В работе изучены явления инжекции и полевой ионизации ловушек в монокристаллах  $\text{MnGa}_2\text{Se}_4$  с удельным сопротивлением  $10^9 \div 10^{10}$  Ом · см, прямой шириной запрещенной зоны  $E_{gd} = 2.56$  эВ и непрямой  $E_{gi} = 2.12$  эВ, полученных методом химических транспортных реакций.

На основе исследования вольт-амперных характеристик структур In-MnGa<sub>2</sub>Se<sub>4</sub>-In в электрических полях до  $10^5$  В/см в интервале температур  $180 \div 360$  К и температурной зависимости электропроводности определены следующие параметры: концентрация носителей тока у катода  $n_{k0} = 5.5 \cdot 10^6 \div 2 \cdot 10^8$  см<sup>-3</sup>, энергия квазиуровня Ферми  $E_F = 0.6$  эВ, концентрация ловушек  $N_t = 1.2 \cdot 10^{14} \div 2 \cdot 10^{15}$  см<sup>-3</sup>, расстояние от ловушки до максимума потенциального барьера  $r_m = 3.7 \cdot 10^{-6}$  см, длина свободного пробега электрона  $\lambda = 4.7 \cdot 10^{-6}$  см.

Установлено, что в электрических полях меньше  $10^3$  В/см имеет место монополярная инжекция носителей тока, которые захватываются глубокими ловушками, а в сильных электрических полях происходит ионизация этих ловушек.

### Введение

Изучение явлений инжекции и полевой ионизации в высокоомных кристаллических и некристаллических полупроводниках, а также в структурах на их основе дает ценную информацию о механизмах переноса заряда, ловушках и их важнейших параметрах [1-6]. Обычно указанные явления исследуются в полупроводниках с омическими и неомическими контактами в планарном варианте и сэндвич-исполнении, в интервале электрических полей до пробоя и при различных температурах [7-10].

Монокристаллы MnGa<sub>2</sub>Se<sub>4</sub> являются высокоомными (удельное сопротивление  $\rho \simeq 10^9 \div 10^{10}$  Ом · см), фоточувствительными (увеличение проводимости равно  $10^2 \div 10^3$  при 100 лк) широкозонными полупроводниками (прямая ширина запрещенной зоны  $E_{gd} = 2.77$  эВ, непрямая

$E_{gi} = 2.24$  эВ) и обладают эффективной фотолюминесценцией [11]. В проявлении этих интересных особенностей важную роль играют ловушки, которые в достаточном количестве имеются в запрещенной зоне монокристаллов  $\text{MnGa}_2\text{Se}_4$ .

С целью выяснения механизма переноса заряда, определения подвижности носителей тока и их концентрации, параметров ловушек (энергии активации, концентрации и др.) в монокристаллах  $\text{MnGa}_2\text{Se}_4$  изучены явления инжекции и полевой ионизации ловушек путем исследования вольт-амперных характеристик (ВАХ) структур  $\text{In}-\text{MnGa}_2\text{Se}_4-\text{In}$  в электрических полях до  $10^5$  В/см в интервале температур  $180 \div 360$  К.

### Результаты измерений

Монокристаллы соединения  $\text{MnGa}_2\text{Se}_4$  были получены методом газотранспортной реакции [11, 12], а в качестве носителя использовался йод. Омические контакты к монокристаллическим образцам создавались вплавлением индия. Площадь электродов составляла  $(2 \div 4) \cdot 10^{-3}$  см<sup>2</sup>, а расстояние между ними —  $(1 \div 2) \cdot 10^{-2}$  см. Структуры  $\text{In}-\text{MnGa}_2\text{Se}_4-\text{In}$  были изготовлены в сэндвич-исполнении.

Типичные для всех исследуемых структур ВАХ в двойном логарифмическом масштабе приведены на рис. 1. При изменении электрического поля от 1 до  $10^5$  В/см ток, проходящий через структуры, увеличивается от  $4 \cdot 10^{-13}$  до  $3 \cdot 10^{-7}$  А. С понижением температуры ВАХ смещаются в сторону высоких напряжений. Из рис. 1 видно, что ВАХ состоят из сублинейного ( $1 \div 10^2$  В/см), линейного ( $10^2 \div 10^3$  В/см) и квадратичного ( $10^3 \div 10^4$  В/см) участков, а при полях больше  $10^4$  В/см наблюдается резкий рост тока.

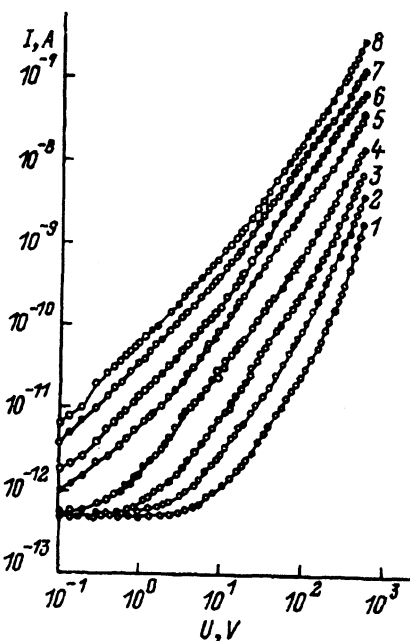


Рис. 1. Вольт-амперная характеристика монокристалла  $\text{MnGa}_2\text{Se}_4$  толщиной  $L = 130$  мкм при температурах  $T$ , К: 1 — 184, 2 — 210, 3 — 230, 4 — 259, 5 — 294, 6 — 320, 7 — 340, 8 — 360.

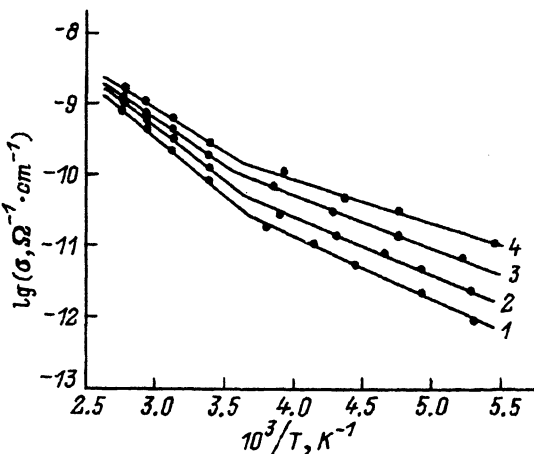


Рис. 2. Температурная зависимость электропроводности монокристалла  $\text{MnGa}_2\text{Se}_4$  при напряжениях  $U$ , В: 1 — 34, 2 — 130, 3 — 300, 4 — 500.

Температурные зависимости тока (или электропроводности) монокристаллов  $\text{MnGa}_2\text{Se}_4$  были измерены при различных электрических полях, включая область выполнения закона Ома и нелинейный участок ВАХ. На зависимости  $\lg \sigma$  от  $10^3/T$  (рис. 2) выделяются два участка — низкотемпературный ( $180 \div 273$  К) и высокотемпературный ( $273 \div 380$  К). Наклон обоих участков, т.е. энергия активации ловушек ( $E_t$ ), с ростом электрического поля уменьшается. Нетрудно заметить, что  $E_t$  для высокотемпературного участка зависимости  $\lg \sigma$  от  $10^3/T$  быстрее уменьшается с ростом электрического поля, чем для низкотемпературного участка.

### Обсуждение результатов измерений

Выяснение механизмов изменения тока в монокристаллах  $\text{MnGa}_2\text{Se}_4$  в зависимости от электрического поля требует для различных участков ВАХ количественно и качественно проверить справедливость соответствующих теорий. С этой целью широко используется дифференциальный метод анализа стационарных ВАХ [3,4,9]. В [3,9] развиты теоретические основы метода инжекционной спектроскопии. Исследование ВАХ полупроводниковых структур в широком интервале электрических полей позволяет определить энергию активации и концентрацию ловушек, время жизни неосновных носителей тока в приконтактной области, в объеме и другие параметры [3,9,13].

Полученные для структур  $\text{In}-\text{MnGa}_2\text{Se}_4-\text{In}$  результаты анализировались на основе зависимости показателя степени при описании ВАХ как  $I \sim U^\alpha$  от напряжения и тока [9,13]:

$$\alpha(U, I) = \frac{d \lg I}{d \lg U} = \frac{U}{I} \frac{dI}{dU}. \quad (1)$$

В [14] показано, что характер изменения  $\alpha$  с напряжением (током) является определяющим при идентификации различных физических механизмов электропроводности в зависимости от величины электрического поля. Особые точки на зависимости  $\alpha(U, I)$  позволяют определить основные параметры полупроводников. Авторами [9] получены

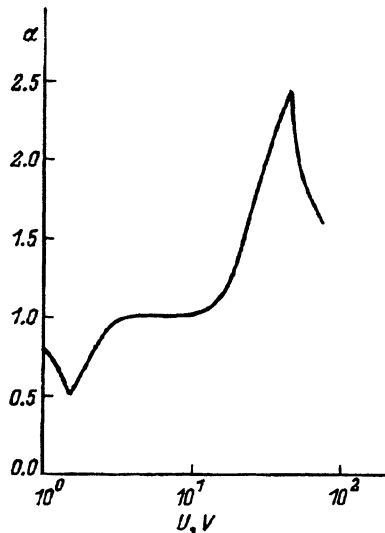


Рис. 3. Зависимость  $\alpha$  от  $U$  при  $T = 230$  К для образца монокристалла  $\text{MnGa}_2\text{Se}_4$ .

выражения, которые аналитически связывают для особых точек величины  $\alpha$  с напряжением, током и параметрами полупроводников. На основе экспериментальных данных, приведенных на рис. 1, при различных температурах определены величины  $\alpha$ . Зависимость  $\alpha(U, I)$  при 230 К показана на рис. 3. Видно, что кривая при  $U_{\min} = 1.5$  В ( $I_{\min} = 9.35 \cdot 10^{-13}$  А) проходит через минимум  $\alpha_{\min} = 0.5$ , а при  $U_{\max} = 42.5$  В ( $I_{\max} = 7 \cdot 10^{-11}$  А) через максимум  $\alpha_{\max} = 2.43$ .

Наличие минимума на зависимости  $\alpha(U, I)$  позволило определить концентрацию носителей тока у катода  $n_{k0}$ , прозрачность  $D_k^*$  контактной области, положение квазиуровня Ферми  $E_F$  [14]:

$$n_{k0} = \frac{\exp \left\{ \sqrt{1 - \alpha_{\min}} (\sqrt{1 - \alpha_{\min}} - 1) \right\}}{1 - \sqrt{1 - \alpha_{\min}}} \frac{I_{\min} L}{e \mu S U_{\min}},$$

$$D_k^* = \frac{1 - \sqrt{1 - \alpha_{\min}}}{\sqrt{1 - \alpha_{\min}}} \frac{\mu U_{\min}}{L U_n}, \quad E_F = kT \ln \left[ \frac{N_c}{n_{k0}} \right], \quad (2)$$

где  $U_n = \sqrt{8kT/\pi m^*}$  — средняя тепловая скорость электронов,  $m^*$  — их эффективная масса,  $k$  — постоянная Больцмана,  $T$  — абсолютная температура,  $L$  — толщина образца,  $N_c$  — эффективная плотность состояний в зоне проводимости.

Можно также оценить скорость поверхностной рекомбинации ( $S_k$ ), энергию активации глубоких уровней ( $E_t$ ) и время жизни носителей заряда ( $\tau$ ) по отношению к рекомбинационному уровню как

$$S_k = \frac{1 - \sqrt{1 - \alpha_{\min}}}{4\sqrt{1 - \alpha_{\min}}} \frac{\mu U_{\min}}{L}, \quad (3)$$

$$E_t = kT \ln \left[ 2 \left( \frac{2\pi m^* k T}{h^2} \right)^{3/2} \frac{3(1 + \alpha_{\min}) e \mu S U_{\min}}{2\alpha_{\min}^2 (5 - 8\alpha_{\min}^2) L I_{\min}} \right], \quad (4)$$

$$\tau = \frac{3L^2\sigma_0}{32(1-\alpha_{\min})^2\mu I_{\min}}, \quad (5)$$

где  $\sigma_0$  — проводимость в омической области ВАХ,  $h$  — постоянная Планка,  $\mu$  — подвижность носителей заряда. При оценке параметров по формулам (2)–(5) использованы значения подвижности электронов  $10 \text{ см}^2/\text{В}\cdot\text{с}$  и эффективной массы  $0.5m_e$ .

Путем подстановки экспериментальных величин, входящих в формулы (2)–(5), сделаны следующие оценки:  $n_{k0} = 5.5 \cdot 10^6 \div 2 \cdot 10^8 \text{ см}^{-3}$ ,  $D_k = 10^{-5} \div 10^{-4}$ ,  $E_F = 0.6 \text{ эВ}$ ,  $S_k = 1.65 \text{ м/с}$ ,  $E_t = 0.37 \text{ эВ}$ ,  $\tau = 6 \cdot 10^{-3} \text{ с}$ .

Появление максимума на зависимости  $\alpha(U, I)$  в монокристаллах  $\text{MnGa}_2\text{Se}_4$  требует выяснения механизма токопрохождения в области скачков тока, имеющих место в электрических полях выше  $10^3 \text{ В/см}$ . В этих областях электрических полей нелинейную зависимость между током (электропроводностью) и напряжением можно объяснить монополярной и двойной инжеекцией, полевой ионизацией ловушек и другими механизмами [9]. Это может привести к качественно аналогичным ВАХ (степенные по  $U$  участки, разделяемые скачками тока). Для разграничения механизмов электропроводности полупроводников в электрических полях в [9] введен дискриминационный коэффициент  $Q_{\max}$ , который определяется как отношение концентрации пространственного заряда к концентрации свободных носителей тока,

$$Q_{\max} = \frac{(2\alpha_{\max} - 1)^2(\alpha_{\max} - 1)}{\alpha_{\max}^3} \varepsilon \varepsilon_0 \mu \frac{U_{\max}^2}{4\pi j_{\max} L^3}, \quad (6)$$

где  $\varepsilon_0$  — электрическая постоянная,  $\varepsilon$  — диэлектрическая проницаемость полупроводника, относящаяся к электронной поляризации, т.е.  $\varepsilon = n^2$  ( $n$  — коэффициент преломления света),  $j_{\max}$  — максимальное значение плотности тока. При анализе полученных данных подвижность носителей тока считаем не зависящей от электрического поля.

Показано, что для полевой ионизации, монополярной и двойной инжекции выполняются условия  $Q_{\max} < 4\alpha_{\max}$ ,  $Q_{\max} \geq 1$ ,  $Q_{\max} \leq 1$  соответственно. В случае полевой ионизации получено следующее выражение:

$$Q_{\max} = \frac{(2\alpha_{\max} - 1)^2(\alpha_{\max} - 1)}{(\alpha_{\max} + 1)^2}. \quad (7)$$

Если подставить величину  $\alpha_{\max} = 2.43$  для монокристаллов  $\text{MnGa}_2\text{Se}_4$  в (7), получим  $Q_{\max} = 1.8$ . Это означает, что условия полевой ионизации  $Q_{\max} \leq 4\alpha_{\max}$  и монополярной инжекции  $Q_{\max} \geq 1$  для монокристалла  $\text{MnGa}_2\text{Se}_4$  выполняются. Поэтому с целью выяснения механизма полевой ионизации в исследуемых образцах монокристаллов  $\text{MnGa}_2\text{Se}_4$  ВАХ, приведенные на рис. 1, анализировались в различных моделях, в том числе в соответствии с теорией эффекта Пула–Френкеля (ЭПФ) [15],

$$j(E) = \sigma(0) F e^{\beta \sqrt{F}}, \quad (8)$$

где  $\sigma(0)$  — электропроводность при  $F = 0$  или в области выполнения закона Ома,  $j(F)$  — плотность тока при  $F \neq 0$ ,  $\beta$  — коэффициент Френкеля, который зависит от природы материала и температуры,

$$\beta = \frac{\sqrt{e^3}}{kT \sqrt{\pi \varepsilon \varepsilon_0}}. \quad (9)$$

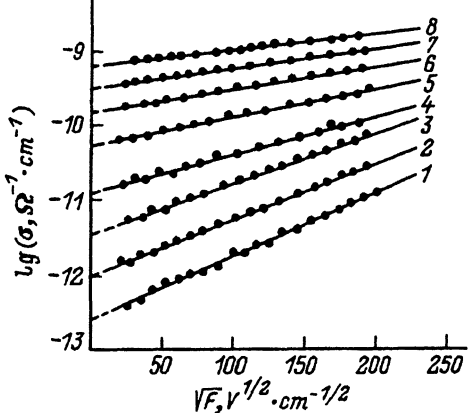


Рис. 4. Зависимость  $\lg \sigma$  от  $\sqrt{F}$  для монокристалла  $\text{MnGa}_2\text{Se}_4$  при различных температурах. Номера кривых те же, что на рис. 1.

Здесь  $e$  — заряд электрона.

Дифференцируя (4) по  $F$ , найдем максимальное электрическое поле или напряжение, при котором наблюдается скачок тока:

$$F_{\max} = \frac{4(kT)^2 \pi \varepsilon \varepsilon_0}{e^3} \quad \text{или} \quad U_{\max} = \frac{4(kT)^2 \pi \varepsilon \varepsilon_0}{e^3} L. \quad (10)$$

Учитывая (10) в (6), получим выражение для дискриминационного коэффициента в случае, когда полевая ионизация обусловлена ЭПФ:

$$Q_{\max} = \frac{(2\alpha_{\max} - 1)^2 (\alpha_{\max} - 1)}{\alpha_{\max}^3} \frac{(kT)^2 (\varepsilon \varepsilon_0)^2}{e^4 \mu n_{\max} L}. \quad (11)$$

На рис. 4 приведена зависимость  $\lg \sigma = f(\sqrt{F})$  для образцов монокристаллов  $\text{MnGa}_2\text{Se}_4$  при различных температурах. Видно, что между  $\lg \sigma$  и  $\sqrt{F}$  существует линейная зависимость, которая наблюдается в интервале электрических полей  $10^3 \div 5 \cdot 10^4$  В/см. С понижением температуры наклон  $\beta$  прямых  $\lg \sigma = f(\sqrt{F})$  увеличивается. Экспериментальные  $\beta$ , определенные при разных температурах, подтвердили справедливость формулы (9). По экспериментальной величине  $\beta$  определена величина  $\varepsilon$  в соединении  $\text{MnGa}_2\text{Se}_4$ , она оказалась равной 8.

Выше отмечалось, что наклон прямых  $\lg \sigma = f(10^3/T)$ , т.е.  $E_t$  (рис. 2), с ростом электрического поля уменьшается. Уменьшение  $E_t$  с ростом  $F$  в соответствии с теорией ЭПФ [15] определяется формулой

$$E_t(F) = E_t(0) - \sqrt{\frac{e^3 F}{\pi \varepsilon \varepsilon_0}}, \quad (12)$$

где  $E_t(0)$  — энергия активации ловушек в омической области ВАХ. Зависимость  $E_t$  от  $F$  в координатах  $E_t = f(\sqrt{F})$  показана на рис. 5. Экстраполяцией прямых  $E_t = f(\sqrt{F})$  к  $F = 0$  найдена энергия активации ловушек 0.35 и 0.2 эВ для высокотемпературного и низкотемпературного участков зависимости  $\lg \sigma$  от  $10^3/T$ .

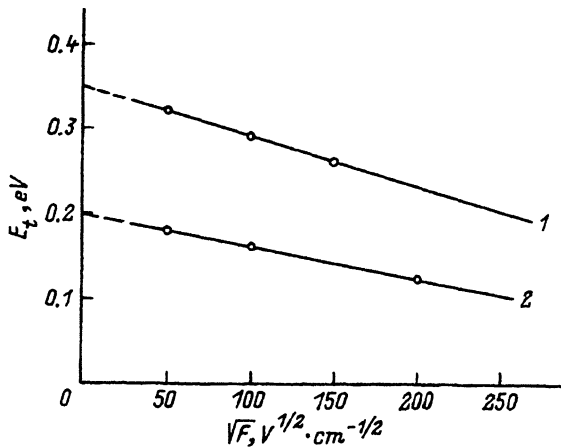


Рис. 5. Зависимость от  $\sqrt{F}$  энергии активации ловушек  $E_t$ , определенной по зависимости  $\lg \sigma \sim 1/T$  в высокотемпературной части (1) и низкотемпературной части (2).

В [16] отмечается, что ЭПФ имеет место тогда, когда минимальное расстояние между ловушками равно расстоянию от ловушки до максимума потенциального барьера  $r_m = \sqrt{e/\pi\epsilon\epsilon_0 F_{cr}}$ . Это условие соответствует концентрации ловушек

$$N_t \approx 1/(2r_m)^3 = (\pi\epsilon\epsilon_0 F_{cr} e^{-1})^{3/2}. \quad (13)$$

В выражениях для  $r_m$  и  $N_t F_{cr}$  — минимальная величина электрического поля, при котором наблюдается ЭПФ. Для оценки  $N_t$  по формуле (13) необходимо знать  $\epsilon$ . Однако, определяя коэффициент Френкеля  $\beta$  при разных температурах, можно видоизменить выражение для  $N_t$ , и тогда получим

$$N_t = \frac{3}{4\pi} \left( \frac{2e}{kT\beta} F_{cr}^{1/2} \right)^3. \quad (14)$$

В [17] найдена связь между критическим радиусом центра захвата и уменьшением высоты потенциального барьера (см. (12)). Принимая во внимание линейную зависимость между  $E_t$  и  $\sqrt{F}$ , согласно формуле (12) получаем выражение для  $N_t$  в следующем виде:

$$N_t = \frac{3}{4\pi} \frac{e^3 F_{cr}^{3/2} (F_2^{1/2} - F_1^{1/2})^3}{(E'_t - E''_t)^3}, \quad (15)$$

где  $F_1$  и  $F_2$  — напряженности электрического поля, при которых энергии активации ловушек равны  $E'_t$  и  $E''_t$  соответственно. Из расчета по формулам (13)–(15) для концентрации ловушек получены значения  $N_t = 1.2 \cdot 10^{14} \div 2 \cdot 10^{15} \text{ см}^{-3}$ . Эти результаты хорошо совпадают с расчетами по теории инжекционно-контактных явлений [3] и токов, ограниченных пространственным зарядом [1, 2, 4].

Согласно выражению (12), сущность теории ЭПФ заключается в уменьшении энергии активации ловушек  $E_t$  на величину  $\sqrt{e^3 F / \pi \epsilon \epsilon_0}$ . Кроме выполнения этого условия необходимо, чтобы электрон сохранил энергию, когда он минует максимум потенциальной ямы в электрическом поле и претерпит взаимодействие с тепловыми колебаниями решетки. Это условие может иметь место в случае, если длина свободного пробега электрона  $\lambda > r_m$  [5, 18, 19].

Принимая во внимание выводы [18,19], мы получили следующее выражение для оценки длины свободного пробега:  $\lambda = \rho kT / 2eF_{\text{cr}}$ . Представляя в выражения для  $r_m$  и  $\lambda$  значение  $\beta = 1.38 \cdot 10^{-2} \text{ В}^{-1/2} \cdot \text{см}^{1/2}$ ,  $T = 230 \text{ K}$ ,  $F_{\text{cr}} = 10^3 \text{ В/см}$ , получим для монокристаллов  $\text{MnGa}_2\text{Se}_4$   $r_m = 3.7 \cdot 10^{-6} \text{ см}$  и  $\lambda = 4.7 \cdot 10^{-6} \text{ см}$ .

Таким образом, в интервале температур  $180 \div 300 \text{ K}$  и в электрических полях меньше  $10^3 \text{ В/см}$  имеет место монополярная инжекция носителей тока, которые захватываются глубокими ловушками, а в сильных электрических полях ( $10^3 \div 5 \cdot 10^4 \text{ В/см}$ ) происходит ионизация этих ловушек.

### Список литературы

- [1] Ю.С. Рябинкин. ФТТ, **6**, 10, 2989 (1964).
- [2] М.А. Ламперт, П. Марк. *Инжекционные токи в твердых телах* (М., 1973).
- [3] A. Rizzo, G. Micocci, A. Tepore. J. Appl. Phys., **48**, 3415 (1977).
- [4] А.Н. Зюганов, С.В. Свечников. *Инжекционно-контактные явления в полупроводниках* (Киев, Наук. думка, 1981).
- [5] К. КАО, В. Хуанг. *Перенос электронов в твердых телах* (М., Мир, 1988).
- [6] В.Б. Квасков. *Полупроводниковые приборы с биполярной проводимостью* (М., 1988).
- [7] C. Manfredotti, C. Deblosi, S. Galossini, G. Micocci, L. Rucciero, A. Tepore. Phys. St. Sol. (a), **36**, 569 (1976).
- [8] S. Nespurek, J. Sworakowski. Phys. St. Sol. (a). **41**, 619 (1977).
- [9] А.Н. Зюганов, С.В. Свечников, А.Ю. Тхорин, Е.П. Шульда. УФЖ, **3**, 21 (1977).
- [10] В.В. Дянкин, А.Н. Зюганов, А.С. Смертенко, И.С. Хилимова. В сб.: *Оптоэлектроника и полупроводниковая техника* (Киев, Наук. думка, 1987) вып. 11.
- [11] Г.М. Нифтиев, О.Б. Тагиев, Э.З. Зейналов, Б.Д. Алиев. ФТП, **25**, 704 (1991).
- [12] R. Rimet, R. Buder, C. Schlenber, R. Rognes, J.U. Zanchetta. Sol. St. Commun., **37**, 693 (1981).
- [13] Н.И. Глущенко, А.Н. Зюганов, Е.П. Скидан, П.В. Чигаркова. Изв. вузов СССР. Физика, вып. 2 (1981).
- [14] А.Н. Зюганов, А.М. Иванов, С.В. Свечников. Электрон. моделирование, **12**, 6 (1990).
- [15] Y.I. Frenkel. Phys. Rev., **54**, 657 (1938).
- [16] R.M. Hill. Phil. Mag., **23**, 59 (1971).
- [17] О.В. Tagiev, G.A. Kasimova. Phys. St. Sol. (a), **128**, 167 (1991).
- [18] Н.Г. Волков, В.К. Ляпидевский. ФТТ, **14**, 1337 (1972).
- [19] А.И. Губанов. ЖТФ, **24**, 308 (1954).

Редактор Л.В. Шаронова

Injection and field ionization of traps in  $\text{MnGa}_2\text{Se}_4$  single crystals

B.G. Tagiev, O.B. Tagiev, N.N. Musaeva

Institute of Physics, Academy of Sciences of Azerbaijan, 370143 Baku, Azerbaijan